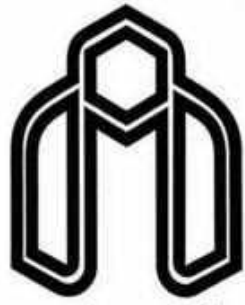


لَهُ مُلْكُ الْأَرْضِ
وَالنَّسْكُ الْمُبِينُ



دانشگاه صنعتی شهرود

دانشکده معدن، نفت و ژئوفیزیک

گروه ژئوفیزیک

پایان نامه کارشناسی ارشد

تضعیف نوافه‌های تصادفی در داده‌های لرزه‌ای با استفاده از ترکیب تبدیل زمان - فرکانس و
تجزیه مُد تجربی

فرید کریمی

اساتید راهنما

امین روشندل کاهو

حمیدرضا سیاه‌کوهی

استاد مشاور

علیرضا جواهری نیستانک

شهریور ۹۲

تقدیم به پدر و مادر عزیزتر از جانم

با آرزوی اگنه پروردگار منان سایه ایشان را بر من مستدام نمایند

و دعاهای خیر ایشان را لائق من بداند

زیرا هر آنچه دارم و خواهم داشت از سر لطف و دعاهای آنهاست.

پاسگزاری

در طول تحصیل در دانشگاه صنعتی شاهروд به عنوان دانشجوی کارشناسی ارشد، افتخار آشنایی با استاد

برجهت ای داشتم. به ویژه استاد راهنمای خود، جناب آقای دکتر امین روشنل کاہبو به حافظ راهنمایی های

مناسب، ایده های نو و تقویت بر پژوهش در طول انجام این پیاپی نامه، و از اینکه با صبر و متناسب من

را راهنمایی کرده اند، نهایت قدردانی را دارم. علاوه بر مطالب علمی و فنی، نکات ارزشمند ای از

شخصیت والا، تجربه فراوان و اخلاق حرفه ای ایشان آموختم. همچنین از رهنمودهای آقای دکتر

حمدیرضا سیاه کوهی که در این پیاپی نامه استاد راهنمای دوم ایجاد بوده اند، مشکر می ناییم.

از مدیریت ملی اکتشاف نفت ایران و اداره ثروهای ملی آن مجموعه که زحمات زیادی را در فراموش

کردن داده های مورد نظر و حمایت های مالی تقدیر و مشکر می شود. همچنین از جناب آقای مسندس

علیرضا جواهری نیستانک مشاور صنعتی پیاپی نامه به بحث راهنمایی ها و زحمات ایشان تقدیر و مشکر

می شود.

چکیده

تصویرسازی لرزاگی به شدت به کیفیت داده‌های لرزاگی وابسته است. تفسیر ساختاری و چینهای مقاطع لرزاگی که حاوی کمترین میزان نوفه تصادفی و همدوس می‌باشند، به مراتب راحت‌تر است. نوفه‌های متعددی در مقاطع لرزاگی دیده می‌شود که دسته مهمی از آن‌ها، نوفه‌های تصادفی‌اند. تضعیف این دسته از نوفه‌ها، بخصوص زمانی که نسبت سیگنال به نوفه کم باشد، بسیار دشوار است. تا کنون روش‌های مختلفی برای تضعیف نوفه‌های تصادفی ارائه شده است که هر کدام مزایا و معایب مربوط به خود را دارد.

در این پایان‌نامه سعی شده است که از روش جدیدی برای تضعیف نوفه‌های تصادفی در حوزه $t-f$ - x استفاده شود. برای این کار با استفاده از تبدیل S تعمیم‌یافته مقطع لرزاگی از حوزه t - x به حوزه f - x انتقال داده می‌شود و سپس در این حوزه تجزیه مُد تجربی Empirical Mode Decomposition (EMD) در راستای مکان برای یک زمان و فرکانس خاص اعمال می‌گردد. اولین تابع مُد ذاتی به دست آمده از روش تجزیه مُد تجربی، سریع‌ترین نوسانات را در داده‌ها نشان می‌دهد. به این معنی که بزرگ‌ترین مؤلفه‌های عدد موج (مربوط به نوفه) در اولین تابع مُد ذاتی موجود می‌باشد. بنابراین برای افزایش نسبت سیگنال به نوفه می‌توان اولین تابع مُد ذاتی را از سیگنال اصلی کسر کرد. نوفه تصادفی شامل همه فرکانس‌ها می‌باشد و برای این که بتوان نوفه تصادفی را در مقاطع لرزاگی تضعیف نمود، می‌توان برای هر فرکانسی روش حذف اولین تابع مُد ذاتی را اعمال کرد. حذف اولین تابع مُد ذاتی به دلیل باقی ماندن نوفه‌ها در سایر توابع مُد ذاتی، عملکرد بهینه‌ای ندارد. همچنین در مواردی که رویدادهای با شیب زیاد در مقطع لرزاگی وجود داشته باشد، به دلیل محتوای عدد موج بالای آن‌ها دستخوش تغییرات می‌گردد.

روش جدید دیگری که در این پایان‌نامه برای تضعیف نوفه توابع مُد ذاتی مورد استفاده قرار گرفته است، مبتنی بر آستانه‌گذاری بازه‌ای بر روی توابع مُد ذاتی به جای حذف اولین تابع مُد ذاتی می‌باشد.

استفاده از این الگوریتم جدید علاوه بر تضعیف نوشه بیشتر نسبت به روش متداول، رویدادهای شبیه دار بدون تغییر باقی می‌مانند. در این پایان‌نامه الگوریتم مذکور بر روی مقاطع لرزه‌ای مصنوعی و واقعی اعمال شده و با روش ترکیب تبدیل فوریه و تجزیه مُد تجربی مقایسه شده است. نتایج به دست آمده، عملکرد مناسب روش‌های معرفی شده در این پایان‌نامه را نشان می‌دهد. همچنین نشان داده شده است که حذف اولین تابع مُد ذاتی در رکورد چشم مشترک می‌تواند در تضعیف نوشه‌های همدوس زمین‌غلت کارآمد باشد.

کلید واژه: مقاطع لرزه‌ای، نوشه‌های تصادفی، تبدیل S تعمیم‌یافته، تجزیه مُد تجربی، توابع مُد ذاتی، آستانه‌گذاری بازه‌ای.

لیست مقالات مستخرج از پایان نامه

- ۱- تضعیف نوشهای تصادفی داده‌های لرزه‌ای با استفاده از فیلتر میانگین غیر محلی، مجله ژئوفیزیک ایران، ۱۳۹۲.
- ۲- تبدیل S بهبود یافته برای تحلیل نمایش زمان- فرکانس داده‌های لرزه‌ای، کنفرانس ملی برق و کامپیوتر، ۱۳۹۱.
- ۳- تضعیف نوشهای تصادفی مقاطع لرزه‌ای با استفاده از ترکیب تبدیل زمان- فرکانس و تجزیه مدد تجربی، مجله ژئوفیزیک ایران، ۱۳۹۲.
- ۴- تضعیف نویه لرزه‌ای همدوس با استفاده از ترکیب تبدیل S تعمیم‌یافته و تجزیه مدد تجربی، مجله پژوهش نفت ایران، ۱۳۹۲.
- ۵- تضعیف نویه تصادفی داده لرزه‌ای با استفاده از ترکیب تبدیل زمان- فرکانس و فیلتر میانگین غیر محلی، سمینار ژئوفیزیک اکتشافی نفت، ۱۳۹۲.

فهرست مطالب

۱	فصل اول: مقدمه
۶	فصل دوم: تجزیه مُد تجربی
۷	۱-۲ مقدمه
۸	۲-۲ فرکانس لحظه‌ای
۱۲	۳-۲ تجزیه مُد تجربی (EMD)
۲۴	فصل سوم: تبدیل‌های زمان - فرکانس
۲۵	۱-۳ مقدمه
۲۶	۲-۳ نمایش سیگنال
۲۹	۳-۳ روش‌های زمان - فرکانس
۳۰	۴-۳ تبدیل فوریه زمان کوتاه
۳۶	۵-۳ تحلیل با قدرت تفکیک چندگانه
۳۷	۶-۳ تبدیل موجک پیوسته
۴۱	۷-۳ تبدیل S
۴۳	۱-۷-۳ بدست آوردن تبدیل S از STFT
۴۴	۲-۷-۳ تبدیل S به عنوان یک همامیخت
۴۵	۳-۷-۳ بدست آوردن تبدیل S از تبدیل موجک
۴۶	۸-۳ تبدیل S گسسته
۴۷	۹-۳ تبدیل S وارون گسسته
۵۰	۱۰-۳ تبدیل S تعمیم‌یافته
۵۶	فصل چهارم: نویه در داده‌های لرزه‌ای
۵۷	۱-۴ نویه
۵۷	۲-۴ نویه همدوس
۵۸	۳-۴ نویه تصادفی
۵۹	۱-۳-۴ خصوصیات نویه تصادفی
۶۲	۲-۳-۴ روش‌های تضعیف نویه تصادفی

۶۲	۱-۲-۳-۴ فیلترهای فرکانسی
۶۳	۲-۲-۳-۴ ویرایش ردلرزه
۶۳	۳-۲-۳-۴ فیلتر میانه
۶۳	۴-۲-۳-۴ فیلتر پیشگو در حوزه $f - x$
۶۶	۵-۲-۳-۴ تضعیف نوفه تصادفی با استفاده از ترکیب تبدیل فوریه و تجزیه مُد تجربی
۶۷	۶-۲-۳-۴ تضعیف نوفه تصادفی با استفاده از تجزیه مُد تجربی
۷۰	۷-۲-۳-۴ تضعیف نوفه تصادفی با استفاده از روش EMD در حوزه $t-f-X$
۷۳	فصل پنجم: تضعیف نوفه در مقاطع لرزه‌ای مصنوعی و واقعی
۷۴	۱-۵ اعمال بر روی مقطع لرزه‌ای
۷۴	۱-۱-۵ اعمال بر روی داده مصنوعی
۸۳	۲-۱-۵ اعمال بر روی داده واقعی
۹۴	فصل ششم: نتیجه‌گیری و پیشنهادات
۹۵	۱-۶ نتیجه‌گیری
۹۶	۲-۶ پیشنهادات
۹۷	منابع و مأخذ

فهرست شکل‌ها

شکل ۲-۱. الف) صفحه فاز برای تابع $x(t) = \alpha + \sin(t)$ برای $\alpha = 0$, (b) $\alpha < 1$, (c) $\alpha > 1$ ؛ ب)	
فرکانس لحظه‌ای محاسبه شده مطابق رابطه (۴-۲)؛ ج) مدل تابع فاز (هوانگ و همکاران، ۱۹۹۸).....	۱۱
شکل ۲-۲. سیگنال آزمایشی برای استخراج IMF‌ها.....	۱۴
شکل ۲-۳. داده اصلی (منحنی آبی رنگ)، منحنی‌های پوش بالایی و پایینی (منحنی‌های سبز رنگ) که توسط بیشینه‌ها و کمینه‌های محلی تعریف شده‌اند و مقدار میانگین منحنی‌های پوش بالایی و پایینی که با رنگ قرمز نشان داده شده است.....	۱۴
شکل ۲-۴. منحنی داده اصلی (منحنی آبی رنگ) و منحنی جزء اول h_1 (منحنی صورتی رنگ).....	۱۵
شکل ۲-۵. جداسازی سیگنال در مرحله h_1 و m_2	۱۶
شکل ۲-۶. اولین IMF (C_1) بعد از سه مرحله.....	۱۷
شکل ۲-۷. نمودار گردشی تجزیه یک سیگنال به مدهای تجربی (تعییمیافته از هوانگ و همکاران، ۱۹۹۸).....	۲۲
شکل ۲-۸. تجزیه مُد تجربی سیگنال سینوسی مطابق رابطه (۱۸-۲) به پنج مؤلفه IMF.....	۲۳
شکل ۳-۱. الف) یک سیگنال چیرپ سینوسی شکل که فرکانس آن به طور خطی با زمان کاهش می‌باید؛ ب) سیگنال چیرپ مشابه قسمت (الف) با این تفاوت که فرکانس آن به طور خطی با زمان افزایش می‌باید؛ ج) طیف دامنه سیگنال شکل ۳-۱(الف)؛ د) طیف دامنه سیگنال شکل ۳-۱(ب)؛ ه) طیف فاز سیگنال شکل ۳-۱(الف)؛ و) طیف فاز سیگنال شکل ۳-۱(ب).....	۲۹
شکل ۳-۲. نمایش گرافیکی نحوه پنجره کردن سیگنال ناپایا به منظور محاسبه تبدیل فوریه زمان کوتاه (صیادی، ۱۳۸۷).....	۳۲
شکل ۳-۳. شکل توابع پنجره الف) گوسی؛ ب) همینگ؛ ج) بلکمن؛ د) هنینگ مطابق روابط جدول ۱-۳.....	۳۴
شکل ۳-۴. تبدیل فوریه زمان کوتاه شکل ۳-۱(ب) با پنجره همینگ الف) با طول پنجره ۵۱ نمونه؛ ب) با طول پنجره ۳۵ نمونه.....	۳۵
شکل ۳-۵. جعبه هایزنبرگ برای اتم زمان- فرکانس (مالات، ۱۹۹۹).....	۳۶
شکل ۳-۶. الف) نمایش شماتیک اصل عدم قطعیت در صفحه زمان- فرکانس STFT ، جعبه عدم قطعیت هایزنبرگ در تمام صفحه ثابت است؛ ب) نمایش شماتیک اصل عدم قطعیت در صفحه زمان- فرکانس در تبدیل موجک پیوسته، جعبه عدم قطعیت هایزنبرگ در هر زمان و فرکانس تغییر می‌کند (مالات، ۱۹۹۹ و ۲۰۰۹).....	۳۹
شکل ۳-۷. تقسیم‌بندی شماتیک صفحه زمان- فرکانس در الف) نمایش زمانی؛ ب) نمایش فرکانسی؛ ج) تبدیل موجک؛ د) تبدیل فوریه زمان کوتاه (بوآشاش، ۲۰۰۳).....	۴۰
شکل ۳-۸. الف) نمودار سیگنال مربوط به رابطه (۳۴-۳)؛ ب) نمودار طیف زمان- فرکانس تبدیل S مربوط به رابطه (۳۴-۳).....	۵۰
شکل ۳-۹. پنجره گوسی نرمالیزه شده بازای مقادیر متفاوت p	۵۱
شکل ۳-۱۰. پنجره گوسی نرمالیزه شده برای مقادیر متفاوت δ به ازای تک فرکانس ۲۵ هرتز.....	۵۴

شكل ۳-۱۱. الف) سیگنال مصنوعی ناپایایی موجک ریکر با فرکانس‌های ۲۵، ۳۵ و ۴۵ هرتز؛ ب) نمودار صفحه زمان- فرکانس تبدیل S معمولی مربوط به سیگنال شکل ۱۱-۳(الف)؛ ج) نمودار صفحه زمان- فرکانس تبدیل S تعمیم یافته مربوط به سیگنال شکل ۱۱-۳(الف)..... ۵۵

شكل ۴-۱. الف) سری زمانی تصادفی با نرخ نمونه‌برداری ۲ میلی‌ثانیه؛ ب) طیف دامنه سری زمانی تصادفی؛ ج) خود همبستگی سری زمانی تصادفی..... ۶۰

شكل ۴-۲. الف) ردلرزه بدون نوفه؛ ب) ردلرزه حاوی نوفه تصادفی (۹ دسی‌بل)؛ ج) طیف دامنه ردلرزه بدون نوفه و د) طیف دامنه ردلرزه حاوی نوفه تصادفی..... ۶۱

شكل ۴-۳. نحوه آستانه‌گذاری مستقیم و بازه‌ای. الف)تابع مُد ذاتی اولیه (خط خاکستری) و نتایج آستانه‌گذاری مستقیم (خط چین سیاه) و بازه‌ای (خط قرمز)، ب)تابع مُد ذاتی اولیه در بازه‌ی مشخص شده، ج) نتیجه آستانه‌گذاری مستقیم و د) نتیجه آستانه‌گذاری بازه‌ای (با تغییر از کوپسینیس و مک لاولین، ۲۰۰۸)..... ۶۹

شكل ۴-۴. نمودار گردشی تضعیف نوفه تصادفی با استفاده از ترکیب تبدیل زمان- فرکانس و تجزیه مُد تجربی..... ۷۲

شكل ۵-۱. مقطع لرزه‌ای مصنوعی (الف) بدون نوفه تصادفی و (ب) همراه نوفه تصادفی با نسبت سیگنال به نوفه ۸ دسی‌بل..... ۷۵

شكل ۵-۲. نتایج نوفهزدایی با استفاده از الف) TFX-EMDIT ؛ ب) TFX-EMD ؛ ج) اختلاف میان مقطع لرزه‌ای مصنوعی حاوی نوفه با نتیجه (الف) و د) اختلاف میان مقطع لرزه‌ای مصنوعی حاوی نوفه با نتیجه (ب)..... ۷۶

شكل ۵-۳. نتایج نوفهزدایی با استفاده از الف) FX-EMD ؛ ب) FX-EMDIT ؛ ج) اختلاف میان داده لرزه‌ای مصنوعی حاوی نوفه با نتیجه (الف) و (د) اختلاف میان داده لرزه‌ای مصنوعی حاوی نوفه با نتیجه (ب)..... ۷۷

شكل ۵-۴. نمونه ۱۵ امین ردلرزه از مقطع لرزه‌ای مصنوعی (الف) ردلرزه بدون نوفه؛ ب) مقدار نوفه تصادفی وارد شده و (ج) ردلرزه حاوی نوفه تصادفی..... ۷۹

شكل ۵-۵. طیف دامنه الف) ۱۵ امین ردلرزه مقطع مصنوعی بدون نوفه؛ ب) مقدار نوفه اضافه شده و (ج) ردلرزه حاوی نوفه..... ۸۰

شكل ۵-۶. ۱۵ امین ردلرزه مصنوعی و نوفهزدا شده با استفاده از الف) TFX-EMDIT ؛ ب) TFX-EMD ؛ ج) FX-EMD و د) FX-EMDIT ۸۱

شكل ۵-۷. طیف دامنه ۱۵ امین ردلرزه مصنوعی و نوفهزدا شده با استفاده از الف) TFX-EMDIT ؛ ب) TFX-EMD ؛ ج) FX-EMD و د) FX-EMDIT ۸۲

شكل ۵-۸. داده لرزه‌ای واقعی مورد استفاده مربوط به یکی از میادین نفتی جنوب‌غرب ایران. ۸۳

شكل ۵-۹. نتایج نوفهزدایی با استفاده از الف) TFX-EMDIT ؛ ب) TFX-EMD ؛ ج) FX-EMD و د) FX-EMDIT ۸۴

شکل ۵-۱۰. (الف) اختلاف میان داده لرزه‌ای واقعی با نتیجه شکل ۹-۵ (الف)، (ب) اختلاف میان داده لرزه‌ای واقعی با نتیجه شکل ۹-۵ (ب)، (ج) اختلاف میان داده لرزه‌ای واقعی با نتیجه شکل ۹-۵ (ج) و (د) اختلاف میان داده لرزه‌ای واقعی با نتیجه شکل ۹-۵ (د).	۸۵
شکل ۵-۱۱. ۵۰۰ امین ردلرزه مصنوعی و نویفه‌زدا شده با استفاده از (الف) TFX-EMDIT؛ (ب) TFX-EMD؛ (ج) FX-EMD و (د) FX-EMDIT	۸۷
شکل ۵-۱۲. ۵۰۰ امین ردلرزه مصنوعی و نویفه‌زدا شده با استفاده از (الف) TFX-EMDIT؛ (ب) TFX-EMD؛ (ج) FX-EMD و (د) FX-EMDIT	۸۸
شکل ۵-۱۳. رکورد چشممه مشترک واقعی.	۸۹
شکل ۵-۱۴. نتایج نویفه‌زدایی با استفاده از (الف) FX-EMD؛ (ب) TFX-EMD؛ (ج) اختلاف میان رکورد واقعی حاوی نویفه با نتیجه (الف) و (د) اختلاف میان رکورد واقعی حاوی نویفه با نتیجه (ب).	۹۰
شکل ۵-۱۵. نتایج تضعیف نویفه زمین غلت با استفاده از (الف) FX-EMD؛ (ب) TFX-EMD؛ مقایسه طیف دامنه قبل و بعد از تضعیف نویفه همدوس با استفاده از (ج) TFX-EMD و (د) FX-EMD	۹۲
شکل ۵-۱۶. نتایج تضعیف نویفه زمین غلت با استفاده از (الف) FX-EMD؛ (ب) TFX-EMD؛ مقایسه طیف دامنه قبل و بعد از تضعیف نویفه همدوس با استفاده از (ج) TFX-EMD و (د) FX-EMD	۹۳

فهرست جداول

جدول ۳ - ۱. نام، رابطه و مشخصات توابع پنجره متدال (مالات، ۱۹۹۹ و ۲۰۰۹). ۳۴

جدول ۵ - ۱. مقایسه نسبت سیگنال به نویه. ۷۸

فهرست علائم اختصاری

اختصار لاتین	لاتین	توضیحات
CEEMD	Complete Ensemble Empirical Mode Decomposition	تجزیه مُد تجربی گروهی کامل
CWT	Continuous Wavelet Transform	تبديل موجک پیوسته
EMD	Empirical Mode Decomposition	تجزیه مُد تجربی
EEMD	Ensemble Empirical Mode Decomposition	تجزیه مُد تجربی گروهی
EMD- DT	Empirical Mode Decomposition Direct Thresholding	تجزیه مُد تجربی آستانه‌گذاری مستقیم
EMD- IT	Empirical Mode Decomposition Interval Thresholding	تجزیه مُد تجربی آستانه‌گذاری بازه‌ای
EMD- IIT	Empirical Mode Decomposition Iterative Interval Thresholding	تجزیه مُد تجربی آستانه‌گذاری بازه‌ای
IMF	Intrinsic Mode Function	تابع مُد ذاتی
ST	S Transform	تبديل S
STFT	Short Time Fourier Transform	تبديل فوریه زمان کوتاه
GST	Generalized S Transform	تبديل S تعمیم‌یافته

فصل اول

مقدمه

روش‌های لرزه‌ای بازتابی یکی از روش‌های مطالعه ساختار زیرسطحی به منظور اکتشافات هیدرولریک بن می‌باشد. سیگنال‌های لرزه‌ای که از داخل زمین بازتاب می‌شوند، حاوی اطلاعات مهمی از لایه‌های زمین می‌باشند. بنابراین کیفیت بالای داده‌ها می‌تواند در استخراج این اطلاعات از ردیلر لرزه کمک شایانی بکند (شريف و جلدارت، ۱۹۹۵). داده‌های لرزه‌ای خام همواره شامل انرژی‌های ناخواسته هستند. از این انرژی‌های ناخواسته و نامطلوب در لرزه‌شناسی به عنوان نوفه^۱ یاد می‌شود. حضور این نوفه‌ها و تداخل آن‌ها با سیگنال مطلوب باعث تغییر شکل سیگنال اصلی شده و در نهایت باعث تغییر یا از بین رفتن اطلاعات مورد نیاز می‌گردد. نوفه‌های متعددی در داده‌های لرزه‌ای دیده می‌شود که دسته مهمی از آن‌ها، نوفه‌های تصادفی^۲ می‌باشند که به صورت نوسان‌های تصادفی در تمام زمان‌ها و فرکانس‌ها مشاهده می‌شوند. تضعیف این دسته از نوفه‌ها، به خصوص زمانی که نسبت سیگنال به نوفه پایین باشد، بسیار دشوار می‌باشد. تضعیف نوفه^۳ تصادفی از داده لرزه‌ای یکی از مراحل مهم در پردازش می‌باشد که تاثیر بسزایی در تفسیر داده‌های لرزه‌ای ایفا می‌کند.

تا به حال روش‌های مختلفی برای تضعیف نوفه تصادفی یا به عبارت دیگر بالا بردن نسبت سیگنال به نوفه ارائه شده است. یکی از روش‌های قدیمی برای تضعیف نوفه‌های تصادفی، روش برانبارش^۴ می‌باشد که از خاصیت تصادفی نوفه‌ها در جهت تضعیف آن‌ها استفاده می‌کند. واهمامیخت پیشگو^۵ یکی دیگر از روش‌های تضعیف نوفه تصادفی می‌باشد. این روش که ابتدا توسط کانالز^۶ (۱۹۸۴) مطرح شد از قابلیت پیش‌بینی سیگنال در راستای مکان استفاده می‌کند. این روش را می‌توان در دو حوزه زمان - مکان (t-x) و فرکانس - مکان (f-x) استفاده نمود (گالبریت^۷، ۱۹۹۱؛ هریس^۸ و واйт^۹، ۱۹۹۷؛

¹. Noise

². Random noises

³. Noise attenuation

⁴. Stacking

⁵. Predictive deconvolution

⁶. Canales

⁷. Galbraith

⁸. Haris

⁹. White

ابما^۱ و کلربات^۲، ۱۹۹۵ و ارجمند پور و سیاه‌کوهی، ۱۳۸۴). گروهی نیز با تکیه بر تجزیه مقدار تکین^۳ (اولریچ^۴ و همکاران، ۱۹۹۹) و یا تبدیل کارهونن- لاو^۵ (همون^۶ و مکه^۷، ۱۹۷۸؛ جونز^۸ و لوی^۹، ۱۹۸۷ و الیحیی^{۱۰}، ۱۹۹۱) سعی در بالا بردن نسبت سیگنال به نویه داشته‌اند. ژانگ^{۱۱} و همکاران (۲۰۰۶) از برازش چندجمله‌ای برای تضعیف نویه‌های تصادفی از داده‌های لرزه‌ای استفاده کردند.

روش تجزیه مُد تجربی^{۱۲} (هوانگ^{۱۳} و همکاران، ۱۹۹۸)، روشی تجربی برای تجزیه یک سیگنال به تعدادی متناهی از توابع نوسانی دارای تبدیل هیلبرت خوش رفتار است که به آنها توابع مُد ذاتی^{۱۴} (IMF) گفته می‌شود. روش تجزیه مُد تجربی (EMD) یک شیوه آنالیز است که مفاهیم زیادی را در جهت درک بهتر مفاهیم فیزیکی سیگنال‌ها در اختیار ما قرار می‌دهد. تا کنون چندین روش برای تضعیف نویه‌های تصادفی لرزه‌ای با کمک این روش مطرح شده‌اند. امینی (۱۳۹۰) و ناصری^{۱۵} و سیاه‌کوهی^{۱۶} (۲۰۱۱) با استفاده از EMD در حوزه فرکانس- مکان، نویه‌های تصادفی را در داده‌های لرزه‌ای تضعیف نمودند. روشنده و نجاتی (۱۳۹۰) با استفاده از الگوریتم‌های مبتنی بر آستانه‌گذاری بازه‌ای^{۱۷} بر روی توابع مُد ذاتی مختلف، به تضعیف نویه‌های تصادفی در داده‌های لرزه‌ای بازتابی در حوزه زمان - مکان پرداختند.

¹. Abma

². Claerbout

³. Singular value decomposition

⁴. Ulrych

⁵. Karhunen-Love

⁶. Hemon

⁷. Mace

⁸. Jones

⁹. Lovey

¹⁰. Al-Yahya

¹¹. Zhong

¹². Empirical Mode Decomposition (EMD)

¹³. Huang

¹⁴. Intrinsic Mode Functions (IMF)

¹⁵. Naseri

¹⁶. Siahkohi

¹⁷. Interval Thresholding

در روش‌های فوق، ناپایا^۱ بودن سیگنال لرزه‌ای مورد توجه قرار نگرفته است. این موضوع می‌تواند در نتیجه نهایی روش‌های مذکور تأثیر بسزایی داشته باشد. امروزه تبدیل‌های زمان - فرکانس به عنوان ابزاری متداول برای بررسی سیگنال‌های ناپایا، بخصوص سیگنال‌های لرزه‌ای تبدیل شده‌اند (سینه‌ها^۲ و همکاران، ۲۰۰۵؛ لین^۳ و همکاران، ۲۰۰۷ و لیته^۴ و همکاران، ۲۰۰۸). روش‌های متعددی برای تضعیف نویله‌های لرزه‌ای در حوزه زمان - فرکانس مطرح شده‌اند. لین و همکاران (۲۰۰۷) با استفاده از روش فیلتر کردن قله‌های تبدیل زمان - فرکانس (بوآشаш^۵، ۲۰۰۳) به تضعیف نویله‌های تصادفی از داده‌های لرزه‌ای پرداختند. عسکری^۶ و سیاه‌کوهی (۲۰۰۸) با استفاده از تبدیل S در حوزه مکان - فرکانس - عدد موج (x-f-k) نویله‌های همدوس زمین‌غلت^۷ را از داده‌های لرزه‌ای تضعیف نمودند.

روش‌های مطرح شده در بالا هر یک دارای مزایا و معایب مربوط به خود می‌باشند. بنابراین ارائه روش‌هایی که بتواند با ترکیب روش‌های فوق، مزایای آن‌ها را حفظ و در عین حال معایب آن‌ها را تضعیف کند، در تضعیف نویله‌های تصادفی داده‌های لرزه‌ای بسیار مهم می‌باشد. در این پایان‌نامه سعی می‌شود با ترکیب روش تجزیه مُد تجربی و تبدیل زمان - فرکانس (هن- پنگ^۸ و همکاران، ۲۰۱۱) نویله‌های تصادفی در داده‌های لرزه‌ای بازتابی تضعیف شوند. در واقع این روش در راستای ادامه کار امینی (۱۳۹۰) می‌باشد. ایشان از ترکیب تبدیل فوریه^۹ و تجزیه مُد تجربی به تضعیف نویله در داده‌های لرزه‌ای پرداخته بودند که ناپایا بودن داده‌های لرزه‌ای را در نظر نگرفته بودند.

البته در روش هن- پنگ و همکاران (۲۰۱۱) به هنگام استفاده از تجزیه مُد تجربی در حوزه زمان - فرکانس - مکان فقط به حذف اولین تابع مُد ذاتی بستنده کرده‌اند. اما در این پایان‌نامه از مفاهیم و

¹. Non- stationary

². Sinha

³. Lin

⁴. Leite

⁵. Boashash

⁶. Askari

⁷. Ground roll

⁸. Han-Peng

⁹. Fourier transform

الگوریتم آستانه‌گذاری بازه‌ای در حوزه زمان- فرکانس مکان نیز استفاده شده است که کار جدیدی به شمار می‌آید و عملکرد بهتری در تضعیف نوافه تصادفی نسبت به روش هن- پنگ و همکاران (۲۰۱۱) دارد.

در این پایان‌نامه ابتدا در فصل دوم به معرفی روش تجزیه مُد تجربی و فرآیند غربال کردن به منظور محاسبه توابع مد ذاتی خواهیم پرداخت. در فصل سوم به معرفی روش‌های تبدیل زمان- فرکانس و روش‌های بدست آوردن تمرکز انرژی بالا در تبدیل S می‌پردازیم. در فصل چهارم ابتدا به معرفی نوافه و دسته‌بندی نوافه‌های لرزه‌ای پرداخته می‌شود و در ادامه به روش‌های تضعیف نوافه در داده‌های لرزه‌ای خواهیم پرداخت. در فصل پنجم به معرفی روش مورد استفاده در این پایان‌نامه خواهیم پرداخت و در ادامه روش مذکور بر روی مقاطع مصنوعی و حقیقی اعمال می‌گردد. در فصل ششم به نتیجه‌گیری کلی در این پایان‌نامه پرداخته شده است.

فصل دوم

تجزیه مُد تجربی